

I - 7 直交異方性斜板の振動解析

九州大学工学部 正員 山崎徳也

正員 彦坂熙

大学院 学生員 古川恒雄

1. 緒言

先に著者らは等方性斜板の自由振動に対する一般的解法を提示し、固有振動数ならびに振動モードの解析結果と併せ報告したが、土木構造物にしばしば見られる斜析橋あるいは鉄筋コンクリート斜スラブ橋などの振動解析は異方性斜板としての取扱いが必要となり、この見地から既に成岡教授⁽²⁾は階差法を用いて斜析橋を直交異方性斜板として計算し、斜角による固有振動数の変化が大なることを示している。本研究は前述の著者らの研究を、いわゆる Huber⁽³⁾の式を導入することにより鉄筋コンクリート斜スラブを主対象とする任意周辺支持条件をもつ直交異方性斜板の振動解析に拡張応用したもので、本文中に定義された $K=1$ とおくことにより等方性斜板の、また斜角 $\varphi=0$ とおくことにより矩形板の振動をそれぞれ包含する。

2. 振動の基礎微分方程式

図-1のごとく 2 辺の長さが a, b の平行四辺形板を考え、これら 2 辺に沿って斜交座標 x, y をまた原点を共有する直交座標 x', y' および x, y をそれぞれ定めれば、これら各座標間には次の関係式が成立する。

$$x = \bar{x} - \bar{y} \tan \varphi, \quad y = \bar{y} \sec \varphi. \quad (1)$$

$$x' = \bar{x}' \sec \varphi, \quad y' = \bar{y}' - \bar{x}' \tan \varphi \quad (2)$$

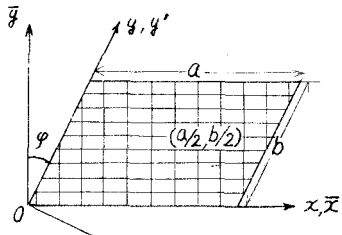


図-1

本研究で取扱う直交異方性斜板の弾性主軸は図-1のごとく上記 x や y 軸に一致するものとし、面に垂直なたわみを W であらわせば振動の基礎微分方程式は周知のごとく次式であらわされる。

$$\rho h \frac{\partial^2 W}{\partial x^2} + D_x \frac{\partial^2 W}{\partial x^4} + 2(D_1 + 2D_{xy}) \frac{\partial^2 W}{\partial x^2 \partial y^2} + D_y \frac{\partial^2 W}{\partial y^4} = 0 \quad (3)$$

$$\text{ただし } D_x = \frac{\rho h^3 E_x}{12(1-\nu_x \nu_y)}, \quad D_y = \frac{\rho h^3 E_y}{12(1-\nu_x \nu_y)}, \quad D_{xy} = \frac{\rho h^3 G}{12},$$

$$D_1 = \frac{\nu_y \rho h^3 E_x}{12(1-\nu_x \nu_y)} = \frac{\nu_y \rho h^3 E_y}{12(1-\nu_x \nu_y)}$$

ρ : 板厚、 ρ : 板の密度、 ν_x, ν_y : ポアソン比、 E_x, E_y : 弹性係数、 G : せん断弹性係数
式(1)を用ひて式(3)を (x, y) 座標に変換し $\sin \varphi = s_0, \cos \varphi = c_0, D_1 + 2D_{xy} = H$ とおけば次式となる。

$$\begin{aligned} & \rho h c_0^2 \frac{\partial^2 W}{\partial x^2} + (D_x c_0^4 + 2Hc_0^2 s_0^2 + D_y s_0^4) \frac{\partial^2 W}{\partial x^4} - 4s_0(Hc_0^2 + D_y s_0^2) \frac{\partial^2 W}{\partial x^2 \partial y^2} \\ & + 2(Hc_0^2 + 3D_y s_0^2) \frac{\partial^2 W}{\partial x^2 \partial y^4} - 4s_0 D_y \frac{\partial^4 W}{\partial x^2 \partial y^3} + D_y \frac{\partial^4 W}{\partial y^4} = 0 \end{aligned} \quad (4)$$

ここで鉄筋コンクリートスラブに関する Huber の式 $H = \sqrt{D_x D_y}$ を導入し、 $\kappa = \sqrt{D_y/D_x}$ とおいて式(4)を変形すれば、結局曲げの基礎微分方程式として次式がえられる。

$$\begin{aligned} & \frac{\rho h}{D_y} c_0^2 \frac{\partial^2 W}{\partial x^2} + \left(\frac{1}{\kappa^2} c_0^2 + s_0^2 \right)^2 \frac{\partial^2 W}{\partial x^4} - 4s_0 \left(\frac{1}{\kappa^2} c_0^2 + s_0^2 \right) \frac{\partial^2 W}{\partial x^2 \partial y^2} \\ & + 2 \left(-\frac{1}{\kappa^2} c_0^2 + 3s_0^2 \right) \frac{\partial^2 W}{\partial x^2 \partial y^4} - 4s_0 \frac{\partial^2 W}{\partial x^2 \partial y^3} + \frac{\partial^4 W}{\partial y^4} = 0 \end{aligned} \quad (5)$$

3. 境界条件の斜交座標表示

直交異方性板の断面力、すなわち曲げモーメント、振りモーメント、およびせん断力を式(1)の変換により斜交座標で表わせば、それぞれ次のとくえられる。

$$\left. \begin{aligned} M_x &= -D_x \left(\frac{\partial^2 W}{\partial \bar{x}^2} + V_y \frac{\partial^2 W}{\partial \bar{y}^2} \right) = -D_x \frac{1}{C_o} \left[(C_o^2 + V_y S_o^2) \frac{\partial^2 W}{\partial \bar{x}^2} + V_y \frac{\partial^2 W}{\partial \bar{y}^2} - 2V_y S_o \frac{\partial^2 W}{\partial \bar{x} \partial \bar{y}} \right], \\ M_{\bar{y}} &= -D_{\bar{y}} \left(\frac{\partial^2 W}{\partial \bar{y}^2} + V_x \frac{\partial^2 W}{\partial \bar{x}^2} \right) = -D_{\bar{y}} \frac{1}{C_o} \left[\frac{\partial^2 W}{\partial \bar{y}^2} + (S_o^2 + V_x C_o^2) \frac{\partial^2 W}{\partial \bar{x}^2} - 2S_o \frac{\partial^2 W}{\partial \bar{x} \partial \bar{y}} \right], \\ M_{\bar{x}\bar{y}} &= 2D_{\bar{x}\bar{y}} \frac{\partial^2 W}{\partial \bar{x} \partial \bar{y}} = 2D_{\bar{x}\bar{y}} \frac{1}{C_o} \left[\frac{\partial^2 W}{\partial \bar{x} \partial \bar{y}} - S_o \frac{\partial^2 W}{\partial \bar{x}^2} \right] \\ Q_x &= -\frac{\partial}{\partial \bar{x}} \left(D_x \frac{\partial^2 W}{\partial \bar{x}^2} + H \frac{\partial^2 W}{\partial \bar{y}^2} \right) = -D_x \frac{1}{C_o^2} \left[(C_o^2 + K^2 S_o^2) \frac{\partial^3 W}{\partial \bar{x}^3} + K^2 \frac{\partial^3 W}{\partial \bar{x} \partial \bar{y}^2} - 2S_o K^2 \frac{\partial^3 W}{\partial \bar{x}^2 \partial \bar{y}} \right] \\ Q_{\bar{y}} &= -\frac{\partial}{\partial \bar{y}} \left(D_{\bar{y}} \frac{\partial^2 W}{\partial \bar{y}^2} + H \frac{\partial^2 W}{\partial \bar{x}^2} \right) = -D_{\bar{y}} \frac{1}{C_o^2} \left[\frac{\partial^3 W}{\partial \bar{y}^3} - 3S_o \frac{\partial^3 W}{\partial \bar{x} \partial \bar{y}^2} + (3S_o^2 + \frac{C_o^2}{K^2}) \frac{\partial^3 W}{\partial \bar{x}^2 \partial \bar{y}} - S_o (S_o^2 + \frac{C_o^2}{K^2}) \frac{\partial^3 W}{\partial \bar{x}^3} \right] \end{aligned} \right\} (6)$$

また、 y 軸に平行な断面に作用する曲げモーメントは次式で与えられる。

$$\begin{aligned} M_x &= C_o^2 M_{\bar{x}} + S_o^2 M_{\bar{y}} + 2S_o C_o M_{\bar{x}\bar{y}} \\ &= -D_x \frac{1}{C_o^2} \left[\left(\frac{1}{K^2} C_o^4 + S_o^2 (V_x C_o^2 + S_o^2) + N_x S_o C_o \right) \frac{\partial^2 W}{\partial \bar{x}^2} - (V_x C_o^2 + S_o^2) + S_o^2 + N_x C_o^2 \right) S_o \frac{\partial^2 W}{\partial \bar{x} \partial \bar{y}} + (V_x C_o^2 + S_o^2) \frac{\partial^2 W}{\partial \bar{y}^2} \right] (7) \\ &\text{ただし } N_x = V_x + 4D_{\bar{x}\bar{y}}/D_{\bar{y}} \end{aligned}$$

いま周辺支持条件として、図-2のことく(i)4辺固定、(ii)4辺単純支持、(iii)1対辺単純支持、他対辺自由、(iv)1対辺単純支持、他対辺弾性梁支持、の4種を例にとれば、これらの境界条件はそれぞれ次のとく表わされる。

$$(i) \text{4辺固定. } (W)_{x=0,a} = (W)_{y=0,b} = 0, \quad (\theta_x)_{x=0,a} = \frac{1}{C_o} \left(\frac{\partial^2 W}{\partial \bar{x}^2} - S_o \frac{\partial^2 W}{\partial \bar{y}^2} \right)_{x=0,a} = 0, \quad (\theta_y)_{y=0,b} = \frac{1}{C_o} \left(\frac{\partial^2 W}{\partial \bar{y}^2} - S_o \frac{\partial^2 W}{\partial \bar{x}^2} \right)_{y=0,b} = 0 \quad (8)$$

ただし、 θ_x, θ_y ： y 軸および x 軸まわりたわみ角。

$$(ii) \text{4辺単純支持. } (W)_{x=0,a} = (W)_{y=0,b} = 0, \quad (M_x)_{x=0,a} = (M_{\bar{y}})_{y=0,b} = 0. \quad (9)$$

$$(iii) \text{1対辺単純支持、他対辺自由. } (W)_{x=0,a} = 0, \quad (M_x)_{x=0,a} = (M_{\bar{y}})_{y=0,b} = 0. \quad (10)$$

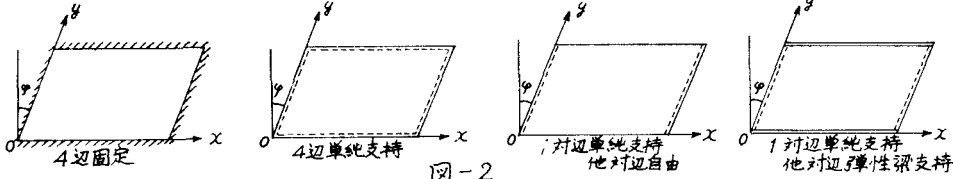
$$(\nabla_{\bar{y}})_{y=0,b} = [Q_{\bar{y}} - \frac{\partial M_{\bar{x}\bar{y}}}{\partial \bar{x}}]_{y=0,b} = -D_{\bar{y}} \frac{1}{C_o^2} \left[\frac{\partial^3 W}{\partial \bar{y}^3} - 3S_o \frac{\partial^3 W}{\partial \bar{y}^2 \partial \bar{x}} + (3S_o^2 + N_x C_o^2) \frac{\partial^3 W}{\partial \bar{x}^2 \partial \bar{y}} - S_o (S_o^2 + N_x C_o^2) \frac{\partial^3 W}{\partial \bar{x}^3} \right]_{y=0,b} = 0$$

ただし $\nabla_{\bar{y}}$: x 軸に平行な断面に作用する反力。

$$(iv) \text{1対辺単純支持、他対辺弾性梁支持.}$$

$$\begin{aligned} (W)_{x=0,a} &= 0, \quad (M_x)_{x=0,a} = 0, \quad -C \frac{1}{C_o} \left(\frac{\partial^3 W}{\partial \bar{y}^3} - S_o \frac{\partial^3 W}{\partial \bar{x}^2} \right)_{y=0,b} = D_{\bar{y}} \frac{1}{C_o^2} \left[\frac{\partial^3 W}{\partial \bar{y}^2} - 2S_o \frac{\partial^3 W}{\partial \bar{y}^2 \partial \bar{x}} + (S_o^2 + V_x C_o^2) \frac{\partial^3 W}{\partial \bar{x}^2} \right]_{y=0,b} \\ EI \left(\frac{\partial^2 W}{\partial \bar{x}^2} \right)_{y=0,b} &= D_{\bar{y}} \frac{1}{C_o^2} \left[\frac{\partial^3 W}{\partial \bar{y}^3} - 3S_o \frac{\partial^3 W}{\partial \bar{y}^2 \partial \bar{x}} + (3S_o^2 + N_x C_o^2) \frac{\partial^3 W}{\partial \bar{x}^2 \partial \bar{y}} - S_o (S_o^2 + N_x C_o^2) \frac{\partial^3 W}{\partial \bar{x}^3} \right]_{y=0,b} \end{aligned} \quad (11)$$

ただし C : 梁の振り剛性、 EI : 梁の曲げ剛性。



4. 振動方程式の誘導

斜板の固有円振動数を ω とするとき、式(5)の基礎微分方程式を満足するたわみ W が次式で表わされるものとする。

$$W = W(x, y) \cdot \cos \omega t. \quad (12)$$

式(12)と式(5)に代入し、両辺を $\cos \omega t$ で約せば、 x, y のみに関する次の微分方程式をうる。

$$-\frac{\rho h}{D_g} \omega^2 C_0^2 W + \left(\frac{1}{K^2} C_0^2 + S_0^2\right) \frac{\partial^4 W}{\partial x^4} - 4S_0 \left(\frac{1}{K^2} C_0^2 + S_0^2\right) \frac{\partial^2 W}{\partial x^2 \partial y^2} + 2 \left(\frac{1}{K^2} C_0^2 + 3S_0^2\right) \frac{\partial^4 W}{\partial x^2 \partial y^2} - 4S_0 \frac{\partial^2 W}{\partial x^2 \partial y^2} + \frac{\partial^4 W}{\partial y^4} = 0 \quad (13)$$

式(13)を満足する W の解は次式で与えられる。

$$W = \sum_{n=1}^{\infty} \left\{ A_{1n} \cosh \pi \beta_1 (\xi - \frac{1}{2}) + A_{2n} \sinh \pi \beta_1 (\eta - \frac{1}{2}) + A_{3n} \cosh \pi \beta_2 (\xi - \frac{1}{2}) + A_{4n} \sinh \pi \beta_2 (\eta - \frac{1}{2}) \right\} \cos n \pi \left\{ \frac{b}{a} \xi \left(\xi - \frac{1}{2} \right) + \eta - \frac{1}{2} \right\} \quad (14)$$

ただし $A_{1n}, A_{2n}, A_{3n}, A_{4n}, B_{1m}, B_{2m}, B_{3m}, B_{4m}$ は境界条件から定まる積分定数である。

また式(14)の記号は次の内容をもつ。

$$\begin{aligned} \xi &= \frac{x}{a}, \quad \beta_1 = \frac{a}{b} C_0 \frac{E_0}{S_0} \sqrt{n^2 + \frac{b^2}{a^2} \omega \sqrt{\frac{\rho h}{D_g}} (C_0^2 + K^2 S_0^2)}, \quad \delta_1 = \frac{b}{a} C_0 \frac{1}{K} \sqrt{m^2 + \frac{a^2}{b^2} \omega \sqrt{\frac{\rho h}{D_g}} K^2}, \quad E_0 = \frac{K^2 S_0}{C_0^2 + K^2 S_0^2}, \\ \eta &= \frac{y}{b}, \quad \beta_2 = \frac{a}{b} C_0 \frac{E_0}{S_0} \sqrt{n^2 - \frac{b^2}{a^2} \omega \sqrt{\frac{\rho h}{D_g}} (C_0^2 + K^2 S_0^2)}, \quad \delta_2 = \frac{b}{a} C_0 \frac{1}{K} \sqrt{m^2 - \frac{a^2}{b^2} \omega \sqrt{\frac{\rho h}{D_g}} K^2} \end{aligned}$$

周辺支持条件が前節の(i), (ii), (iii), (iv)のごとく斜板の中心点 ($a/2, b/2$) に関して対称なる場合は、式(14)を板の中心点に関する対称および逆対称振動に対応した2式に分離できる。すなわち

(1) 対称振動

$W(\xi, \eta) = W(1-\xi, 1-\eta)$ の条件から

$$W = \sum_{n=1}^{\infty} \left\{ A_{1n} \cosh \pi \beta_1 (\xi - \frac{1}{2}) + A_{3n} \cosh \pi \beta_2 (\xi - \frac{1}{2}) \right\} \cos n \pi \left\{ \frac{a}{b} \xi \left(\xi - \frac{1}{2} \right) + \eta - \frac{1}{2} \right\} + \sum_{n=1}^{\infty} \left\{ B_{1m} \cosh \pi \delta_1 (\eta - \frac{1}{2}) + B_{3m} \cosh \pi \delta_2 (\eta - \frac{1}{2}) \right\} \cos m \pi \left\{ \frac{b}{a} \eta \left(\eta - \frac{1}{2} \right) + \xi - \frac{1}{2} \right\} \quad (15)$$

(2) 逆対称振動

$W(\xi, \eta) = -W(1-\xi, 1-\eta)$ の条件から

$$W = \sum_{n=1}^{\infty} \left\{ A_{2n} \sinh \pi \beta_1 (\xi - \frac{1}{2}) + A_{4n} \sinh \pi \beta_2 (\xi - \frac{1}{2}) \right\} \cos n \pi \left\{ \frac{a}{b} \xi \left(\xi - \frac{1}{2} \right) + \eta - \frac{1}{2} \right\} + \sum_{n=1}^{\infty} \left\{ B_{2m} \sinh \pi \delta_1 (\eta - \frac{1}{2}) + B_{4m} \sinh \pi \delta_2 (\eta - \frac{1}{2}) \right\} \cos m \pi \left\{ \frac{b}{a} \eta \left(\eta - \frac{1}{2} \right) + \xi - \frac{1}{2} \right\} \quad (16)$$

任意の周辺支持条件をもつ斜板について、 $x=0, a, y=0, b$ の各辺につき 2 個、合計 8 個の境界条件式が式(8)～式(11)のごとく成立し、これら各式の W に式(14)を代入すれば、次のごとく 8 個の式がえられる。

$$\begin{aligned} \sum_{n=1}^{\infty} [A_{1n} f_{11n}(y) + A_{2n} f_{12n}(y) + A_{3n} f_{13n}(y) + A_{4n} f_{14n}(y)] + \sum_{m=1}^{\infty} [B_{1m} g_{11m}(y) + B_{2m} g_{12m}(y) + B_{3m} g_{13m}(y) + B_{4m} g_{14m}(y)] &= 0 \\ \sum_{n=1}^{\infty} [A_{1n} f_{21n}(x) + \dots + A_{4n} f_{44n}(x)] + \sum_{m=1}^{\infty} [B_{1m} g_{21m}(x) + \dots + B_{4m} g_{44m}(x)] &= 0 \\ \sum_{n=1}^{\infty} [A_{1n} f_{31n}(x) + \dots + A_{4n} f_{43n}(x)] + \sum_{m=1}^{\infty} [B_{1m} g_{31m}(x) + \dots + B_{4m} g_{43m}(x)] &= 0 \\ \sum_{n=1}^{\infty} [A_{1n} f_{41n}(x) + A_{2n} f_{42n}(x) + A_{3n} f_{43n}(x) + A_{4n} f_{44n}(x)] + \sum_{m=1}^{\infty} [B_{1m} g_{41m}(x) + B_{2m} g_{42m}(x) + B_{3m} g_{43m}(x) + B_{4m} g_{44m}(x)] &= 0 \end{aligned} \quad \left. \right\} (17)$$

ここで $f_i(y), g_i(y)$ および $f_i(x), g_i(x)$ はそれぞれ y および x のみの函数である。

式(17)の第 1 式から第 4 式までは辺 $x=0, a$ に関する。また第 5 式から第 8 式までは辺 $y=0, b$ に関する境界条件に由来する諸式で、前者はすべての y について後者はすべての x について成立せねばならぬ。ここで式(17)の各式の左辺をフーリエ正弦級数 $\sum_i P_i \sin \frac{i\pi}{b} y$ 、または $\sum_j Q_j \sin \frac{j\pi}{a} x$ の形に展開すれば、これら各式が x, y の値にかかわらず常に成立するためには、各展開係数 P_i, Q_j はすべて 0 でなければならず上記級数展開を x について第 N 項、 y について第 M 項まで行うとすれば、未知数 $A_{1n}, A_{2n}, A_{3n}, A_{4n}, B_{1m}, B_{2m}, B_{3m}, B_{4m}$ に関する次のごとき $4(M+N)$ 元連立 1 次同次方程式がえられる。

$$\left. \begin{aligned} & \sum_{n=1}^N [\lambda_{1,n} A_m + \lambda_{1,n+n} A_{2n} + \lambda_{1,2N+n} A_{3n} + \lambda_{1,3N+n} A_{4n}] + \sum_{m=1}^M [\mu_{1,m} B_m + \mu_{1,M+m} B_{2m} + \mu_{1,2M+m} B_{3m} + \mu_{1,3M+m} B_{4m}] = 0 \\ & \sum_{n=1}^N [\lambda_{4N+n} A_m + \dots + \lambda_{4N+3N+n} A_{4n}] + \sum_{m=1}^M [\mu_{4N,m} B_m + \dots + \mu_{4N,3M+m} B_{4m}] = 0 \\ & \sum_{n=1}^N [\lambda_{4N+1,n} A_m + \dots + \lambda_{4N+1,3N+n} A_{4n}] + \sum_{m=1}^M [\mu_{4N+1,m} B_m + \dots + \mu_{4N+1,3M+m} B_{4m}] = 0 \\ & \sum_{n=1}^N [\lambda_{4N+M,n} A_m + \lambda_{4N+M,n+n} A_{2n} + \lambda_{4N+M,2N+n} A_{3n} + \lambda_{4N+M,3N+n} A_{4n}] + \sum_{m=1}^M [\mu_{4N+M,m} B_m + \mu_{4N+M,M+m} B_{2m} + \mu_{4N+M,2M+m} B_{3m} + \mu_{4N+M,3M+m} B_{4m}] = 0 \end{aligned} \right\} \quad (18)$$

連立方程式(18)の未知数 $A_m, A_{2n}, A_{3n}, A_{4n}, B_m, B_{2m}, B_{3m}, B_{4m}$ がすべて 0 ではない解をもつための必要充分条件から式(18)の係数行列式 = 0 とおくことにより振動数方程式がえられ、これを満足する ω が所要の固有振動数である。

5. 振動モード

任意の固有振動数に対する斜板の自由振動は式(5)を満足する式(4)によって決定されるが、特定の時刻における振動モードは式(4)より求められ、そのためには積分定数 $A_m, A_{2n}, A_{3n}, A_{4n}$ やび $B_m, B_{2m}, B_{3m}, B_{4m}$ の相互の比を求めが必要がある。式(4)は連立 1 次同次方程式であることより任意の 1 式は残りの $(4M+4N-1)$ 個の式の 1 次結合によって表わされられ、例えば式(4)において $A_0=1$ とおき、任意の 1 式を除いてえられる $(4M+4N-1)$ 元連立 1 次方程式を解けば、未知数 $A_m (m=2,3,4,\dots,N), A_n, A_{2n}, A_{3n} (n=1,2,3,\dots,N)$ やび $B_m, B_{2m}, B_{3m}, B_{4m} (m=1,2,3,\dots,M)$ の A_n に対する比が求められ、式(4)より所要の振動モードがえられる。

6. 計算例

図-2 に示した周辺支持条件のうち(i) 4 辺固定、(ii) 4 辺単純支持、(iii) 1 辺単純支持他対辺自由の場合につき、 $\gamma=0, \kappa=1, a=b$ の特例についてそれぞれの固有振動数 ω を算定し、無次元量 $\gamma = \frac{\alpha^2}{\pi^2} \omega \sqrt{\frac{P_R}{D_R}}$ について矩形板に関する既往研究⁽⁴⁾⁽⁵⁾と比較したものが表-1 であり、展開級数 10 項以下で充分な精度をうることがみとめられる。

7. 結語

任意周辺支持条件をもつ鉄筋コンクリート斜スラブを対象として、直交異方性を考慮した Huber の式を導入することにより、自由振動の基礎微分方程式(5)に基づく固有振動数および振動モードの解法を提示した。本法はスラブの境界条件の如何にかかわらず一貫して適用しうる利点をもち、また文献(6)と併用すれば強制振動の解析に拡張応用が可能となる。なお本文の式(18)より誇導される振動数方程式は、全要素に固有値を含む多元行列式となるため、当然固有値の算定は試算によることとなる。

参考文献

- (1) 山崎・彦坂・吉川：等方性斜板の振動解析、昭和41年度土木学会西部支部研究発表会論文集 昭和42年1月。
- (2) 成岡大村・西島：直交異方性平行四辺形板に対する階差方程式、土木学会論文集 第55号 昭和33年5月。
- (3) M.T. Huber : Die Theorie Der Kreuzweise Bewehrten Eisenbetonplatten Nebst Anwendungen Auf Mehrere Bautechnisch Wichtige Aufgaben Über Rechteckige Platten. Der Bauingenieur 1923 Heft 12.
- (4) S. Iguchi : Die Eigenwertprobleme für die elastische rechteckige Platte. 北大工紀 13巻 8号 1938-4.
- (5) 井口慶蔵：相対2辺が単純支承他の2辺が自由なる矩形板の振動について、土木学会誌 第26巻 昭和15年1月。
- (6) 山崎・彦坂：鉄筋コンクリート斜スラブの解法、昭和41年度土木学会西部支部研究発表会論文集 昭和42年1月。